

小波网络方法用于时间序列分析中非线性模型的研究[†]

秦伟良

金 龙

(南京气象学院基础科学系, 南京 210044) (江苏省气象局, 南京 210008)

摘要 把小波网络方法用于时间序列分析中非线性模型, 利用小波网络的非线性逼近能力, 构造一个非线性函数, 并对温度资料进行处理, 得到了较好的拟合效果。

关键词 时间序列, 小波网络, 非线性模型

分类号 O212

在时间序列分析中, 一般情况下, 动态数据之间的关系都是非线性的, 因此非线性模型有着广泛的应用。而处理非线性模型的核心问题是如何构造一个具有如下形式的函数

$$F: \quad R^d \rightarrow R^1 \\ x_t = F(x_{t-1}, \dots, x_{t-d}) \quad (1)$$

近年来, 小波分析和神经网络的研究发展迅速, 它们在处理函数的逼近和非线性问题方面也有独到之处, 把小波分析和神经网络的思想相结合就得到了所谓的小波网络^①。本文利用小波网络的方法构造了形如(1)的非线性函数, 并对 1958~1978 年共 21 年的月平均温度资料作了数值计算, 得到了较好的拟合效果。

1 小波网络

设 $\Psi(x)$ 是基本小波函数, 通过对 $\Psi(x)$ 作平移和伸缩而生成一族函数称为小波函数系, 则小波函数系为

$$\Phi = \left\{ \overline{\frac{1}{a_i} \Psi(\frac{x - b_i}{a_i})} : a_i \in R_+, b_i \in R, i \in Z \right\} \quad (2)$$

对于 n 维的情形, 基本小波为

$$\Psi(X) = \Psi(x^1, x^2, \dots, x^n) = \prod_{i=1}^n \Psi(x^i) \quad (3)$$

其相应的小波函数系为

$$\Phi_n = \left\{ \det \left(\overline{D_i} \Psi[D_i(X - t_i)] : t_i \in R^n \right) \middle| D_i = \text{diag} \left(\frac{1}{S_i} \right), S_i \in R_+^n, i \in Z \right\} \quad (4)$$

上述小波函数系在满足一定的条件时, Φ_n 在 $L^2(R^n)$ 是稠密的, 因此 Φ_n 中元素的所有线性组合

收稿日期: 1995-01-13; 改回日期: 1995-08-10

[†] 江苏省自然科学基金资助项目

第一作者简介: 秦伟良, 男, 1965 年 9 月生, 研究生, 讲师

在 $L^2(R^n)$ 也是稠密的。所以, 对于形如(1)的函数可用 Φ_i 中元素的线性组合逼近。

基于以上讨论, 我们构造如下形式的神经网络来逼近(1)中的函数

$$G(X) = \sum_{i=1}^N w_i \Psi[\mathbf{D}_i \mathbf{R}_i(X - t_i)] + \bar{g} \quad (5)$$

其中参数 \bar{g} 是为了逼近非零均值的函数而设置的, 伸缩矩阵 \mathbf{D}_i 是对角阵, \mathbf{R}_i 是旋转矩阵, t_i 是平移因子组成的向量。

$$\mathbf{D}_i = \text{diag}(\frac{1}{S_i^1}, \dots, \frac{1}{S_i^n})$$

此网络可用一个具有输入层、隐含层和输出层的神经网络来描述如图 1 所示。

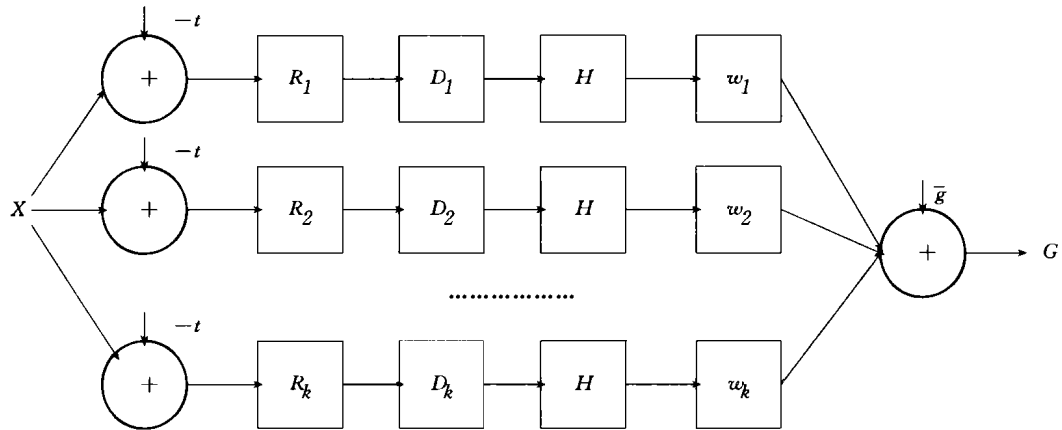


图 1 小波神经网络

Fig. 1 Sketch of wavelet neural network used

设 θ 表示所有参数, $G\theta(X)$ 表示(5)给出的函数, 如果目标函数为

$$C(\theta) = \frac{1}{2} \sum_{k=1}^K [G\theta(X_k) - y_k]^2 \quad (6)$$

对此神经网络采用类似于 BP 算法的梯度法对网络参数 $w_i, t_i, \mathbf{D}_i, \mathbf{R}_i, \bar{g}$ ($i = 1, 2, \dots, N$) 进行训练学习即可确定它们的值。为了方便起见, 引进记号

$$\Psi(X) = \frac{\partial \Psi(X)}{\partial X}$$

$$e_k = G\theta(X_k) - y_k$$

$$z_i = \mathbf{D}_i \mathbf{R}_i(X_k - t_i)$$

则相应的偏导数为

$$\frac{\partial C}{\partial \bar{g}} = \sum_{k=1}^K e_k$$

$$\frac{\partial C}{\partial w_i} = \sum_{k=1}^K e_k \Psi(z_i)$$

$$\frac{\partial C}{\partial t_i} = - \sum_{k=1}^K e_k w_i \mathbf{R}_i^T \Psi(z_i)$$

$$\frac{\partial C}{\partial \mathbf{D}_i} = - \sum_{k=1}^K e_k w_i \mathbf{D}_i^2 \text{diag}[\mathbf{R}_i(X_k - t_i)] \Psi(z_i)$$

$$\frac{\partial C}{\partial R} = \sum_{k=1}^K e_k w_i D_i \Psi(z_i) (X_k - t_i)^T$$

2 温度数据的拟合

我们用以上方法对 1958~1978 年共 21 年的月平均温度数据进行处理。

首先对原始数据作预处理。因为温度资料是季节性的，所以先作差分运算，以 $y(t)$ 表示原始数据，则

$$\Delta y(t) = y(t) - y(t-12)$$

再把差分后的数据按以下方法初始化在 $[-1, 1]$ 内

$$Max = \max_t \{ \Delta y(t) \}$$

$$Min = \min_t \{ \Delta y(t) \}$$

$$dif = Max - Min$$

$$X_t = \frac{2 \times [\Delta y(t) - Min]}{dif - 1}$$

经过以上预处理后，再采用小波网络方法来拟合函数

$$x_t = F(x_{t-1}, \dots, x_{t-d})$$

取基本波函数为

$$\Psi(x) = -x e^{-x^2/2}$$

小波数 N 取 5，我们用误差平方和 RE 来衡量拟合效果，对 d 取不同的数值时（即阶数取不同的值），结果为

$$N = 5, d = 2, RE = 113.052800$$

$$N = 5, d = 3, RE = 3.610800$$

$$N = 5, d = 4, RE = 2.432686$$

$$N = 5, d = 5, RE = 2.451170$$

由此可见，当变量个数为 4 时，误差平方和已经非常小，此时的拟合效果已相当好。此时网络参数值为

$$\bar{g} = -0.139407$$

$$W[i] (i = 1, 2, 3, 4, 5)$$

	i				
	1	2	3	4	5
	-2.204959	-5.699178	4.291621	2.663922	4.635011

$$D[i][j] (i = 1, 2, 3, 4, 5; j = 1, 2, 3, 4)$$

j	i				
	1	2	3	4	5
1	0.631732	1.218065	1.018380	1.233198	0.998829
2	0.997238	1.441960	1.037655	0.000500	1.162965
3	1.551825	1.563475	0.787674	0.678567	0.869472
4	1.013967	0.989462	1.000911	1.363571	2.703972

$t[i][j]$ ($i=1, 2, 3, 4, 5$; $j=1, 2, 3, 4$)

j	i				
	1	2	3	4	5
1	- 0.648 533	- 0.836 817	- 0.505 240	- 0.936 022	- 0.515 148
2	- 1.422 195	- 1.286 090	- 1.159 272	0.985 999	1.459 674
3	1.500 000	1.435 902	- 0.911 617	- 0.811 838	0.022 623
4	0.635 895	- 1.421 685	- 0.679 645	- 0.247 362	- 0.681 385

$R[i][j][k]$ ($i=1, 2, 3, 4, 5$; $j, k=1, 2, 3, 4$)

k	j	i				
		1	2	3	4	5
1	1	0.782 380	0.084 281	- 0.511 546	- 0.345 107	- 0.068 594
	2	0.994 353	0.004 363	0.080 862	0.500 716	0.040 822
	3	0.855 797	- 0.123 407	0.363 950	- 0.049 932	- 0.076 902
	4	0.926 894	0.609 637	- 0.707 540	0.238 085	- 0.266 542
2	1	0.089 497	- 0.315 140	- 0.115 948	0.937 674	- 0.551 877
	2	- 0.583 067	- 0.557 173	- 0.212 184	0.561 929	0.245 165
	3	- 0.787 038	- 0.068 558	0.313 641	- 0.186 481	- 0.547 654
	4	- 0.752 946	- 0.002 999	0.979 050	- 0.157 190	- 0.129 399
3	1	0.481 936	0.075 925	0.782 377	- 0.387 115	0.818 143
	2	0.030 353	- 0.251 498	0.516 206	0.926 826	0.166 136
	3	- 0.251 164	0.224 295	- 0.199 821	0.921 848	- 0.282 891
	4	- 0.173 898	0.316 604	0.125 156	0.619 185	- 0.707 607
4	1	- 0.028 743	0.327 003	0.688 113	0.647 103	0.334 876
	2	0.593 239	0.512 403	- 0.522 846	0.248 189	0.668 291
	3	- 0.637 285	0.292 672	0.561 958	- 0.089 477	0.443 141
	4	0.692 693	- 0.714 468	0.439 827	0.367 338	0.401 436

ERROR= 2.432 686

同时也可看出, 用非线性模型处理此动态数据时, 只要四阶数即可, 而对同样的问题采用线性模型来处理, 用有关的定阶准则定阶, 那么阶数将达到 12 阶以上。因此, 用小波网络处理非线性时间序列分析问题是一个有效的方法。当然, 用小波网络时, 小波数和变量数都不宜太大, 否则, 相应的参数个数会迅速增加, 在训练学习网络参数时计算量和收敛性都会受影响。

参 考 文 献

- 1 Zhang Qinghua, Albert Benveniste. Wavelet Networks. *IEEE Trans. On Neural Networks*, 1992, 3: 889~898
- 2 Cheng Bing, Titterington D M. Neural networks: a review from a statistical perspective. *statistical science*, 1994, 9(1): 2~54
- 3 曹良月, 高辉清. 用确定性方法预测工业总产值. 预测, 1995, (2): 53~56
- 4 陈兆国. 时间序列及其谱分析. 北京: 科学出版社, 1988
- 5 焦李成. 神经网络的应用与实现. 西安: 西安电子科技大学出版社, 1995

USE OF WAVELET NETWORK IN NONLINEAR MODELS OF TIMESERIES ANALYSIS

Qin Weiliang

(*Department of Basic Courses, NIM, Nanjing 210044*)

Jin Long

(*Jiangsu Meteorological Administration, Nanjing 210008*)

Abstract The paper is devoted to application of the wavelet network technique to nonlinear models for timeseries analysis and the nonlinear approximation by the method is able to construct a nonlinear function that is used to process temperature data, resulting in good fitting accuracy.

Keywords timeseries, wavelet network, nonlinear model